

FARKLI YÜZYE PÜRÜZLENDİRİCİ YÖNTEMLERİN ORTODONTİK BAND TUTUCULUĞUNA OLAN ETKİLERİNİN İNCELENMESİ

Dr. Enis GÜRAY*
Uzm. Dt. Ali İhya KARAMAN**

ÖZET: İtasyonunda kullanılan cam iyonomer siman ile ilgili birçok çalışma bu tür simanların diğer simanlara göre mineyi daha iyi koruduklarını ve mine yüzeyine daha kuvvetli yapışıklarını göstermektedir. Ancak, cam iyonomer siman kullanılarak yapılan bandların siman-band yüzeyinde, siman-mine yüzeyine göre daha az tutuculuk olduğunu ve bunun sonucunda da, çekme testlerinde kopmaların hep bu yüzeyde meydana geldiği belirtilmektedir. Çalışmamızda, farklı yüzey pürüzlendirici yöntemlerin band ile cam iyonomer siman yüzeyleri arasındaki söz konusu tutuculuga olan etkileri araştırılmıştır. Bu amaçla 45 adet hazır üst premolar bandının tutucu yüzeylerine üç farklı pürüzlendirme yöntemi uygulanmıştır. Bu yöntemler, micro-etcher cihazı ile 90 mikronluk Alüminium Oksid tozu püskürtülmesi, düşüklü devirli motor ile tungsten carbid frez ve yesil taş uygulamalarıdır. Kontrol grubu olarak pürüzlendirme işlemi uygulanmamış, yalnızca, diğer gruptarda olduğu gibi, Ketac Cem marka cam iyonomer siman kullanılarak simantane edilmiş 15 adet hazır band kullanılmıştır. Dört farklı çalışma grubunu oluşturan 15'er adet hazır üst küçük ağız bandı KOSGEB Konya Danışmanlık ve Kalite Geliştirme Merkezi laboratuvarında, Testometrik Migro 500 Universal test cihazında çekme işlemini tabi tutulmuştur. Pürüzlendirilmiş metal yüzeyleri ise, Jeol JSM 5200 elektron mikroskopu ile incelenmiştir. Gruplar arasındaki farklılıklar tek yönlü varyans analizi ile belirlenmiş, farklılığın hangi gruptan veya gruptardan kaynaklandığının belirlenmesi amacıyla da Duncan Testi yapılmıştır. Band ve mine yüzeyindeki simanın kopma şekli ise, çiplak gözle səbjektif olarak belirlenmiştir. Üç farklı pürüzlendirme yöntemlerinin band tutuculuğunu önemli oranda artırdıkları belirlenirken ($p<0.001$), pürüzlendirme işlemi yapılan band grupları arasında istatistiksel olarak anlamlı bir farklılık gözlenmemiştir. Elektron mikroskop fotoğraflarının incelenmesi sonucunda, micro-etcher kullanılan grupta band yüzeyinde homojen dağılımlı ve muntazam birçok mikroskopik tutucunun oluştuğu gözlenirken, diğer pürüzlendirme işlemelerinin band yüzeyinde geniş ve düzensiz kenar ve oluklar oluşturdukları saptanmıştır. Kopma şeklinin gözlenmesi sonucunda ise, pürüzlendirme işlemi yapılan bandların tümünde simanın band yüzeylerine yapışmış olarak kaldığı, kontrol gruptunda ise, mine yüzeyinde kaldıgı gözlenmiştir. Sonuç olarak, kolay uygulanabilir ve ekonomik olan pürüzlendirmec yöntemlerin tümünün band tutuculuğunu önemli oranda artırdıklarından tercih edilmeleri gerektiği vurgulanmıştır.

Anahtar Kelimeler: Ortodontik band, cam iyonomer siman, tutuculuk, pürüzlendirme.

SUMMARY: THE EVALUATION OF DIFFERENT ROUGHENING METHODS ON THE RETENTION OF ORTHODONTIC BANDS Many studies performed to determine the peculiarities of glass ionomer cements were showed

that these cements protect the enamel surface better and also have better retentive strength when compared to the other orthodontic cements. However, in fact of these adequacies, tensile tests were also showed that significantly more bands cemented with the glass ionomer failed at the cement band interface, leaving the cement adhering to the tooth. In the present study, the effects of different roughening methods on the retention of orthodontic bands were evaluated. For this purpose, a micro-sandblasting with 90 micron aluminium oxide powder, a tungsten carbide bur and a green stone were applied on the retentive surfaces of the 45 pre-formed upper premolar bands. As a control group 15 pre-formed upper premolar bands, cemented with Ketac Cem, were used. The bands of the control group were not subjected to the roughening and all 60 bands of the study were also cemented by Ketac Cem. By means of Testometric Migro 500 Universal machine, four groups of the study, each consisting of 15 bands, were subjected to a tensile load in KOSGEB Laboratory. The roughened band surfaces were also evaluated by means Jeol JSM 5200 electron microscope. The differences between groups were evaluated by using the variance analysis (ANOVA) and Duncan's Multiple Range Test. The failure site was judged subjectively: between cement and enamel, within the cement, or between cement and the band. The increase on the retention of the bands subjected to the roughening was found statistically significant ($p<0.001$) however, Duncan's Multiple Range Test was showed no significant differences among the retentive strengths of the three methods. However, electron micrographs were indicated that the roughened surfaces abraded with a tungsten carbide bur or a green stone were not rough at all under higher magnifications. The appearance of roughness was caused by periodic ridges and grooves. In spite of this, on the micrographs of the roughened surfaces with micro-etcher were seen many homogeneous retentive surfaces with thousands of microscopic undercuts. The failure site on all rough bands was observed at the cement-band interface, leaving the cement adhered to the band, oppositely to the control group where, following to the failure, the cement was observed adhered to the enamel surface. As a conclusion, all of the three roughening methods were found advisable on the retention of the orthodontic bands and preferable for their practical application onda their lower cost/prizes.

Key Words: Orthodontic bands, glass ionomer cement, retention, roughening.

GİRİŞ

Klinik ortodontide direkt olarak yapıştırılabilinen braketlerin yaygın kullanımına karşın, geleneksel bandlar sabit tekniklerde önemli bir rol oynamaktadır. Direkt yapıştırılan braketler ile konvansiyonel bandların kopma sıklıklarını ortaya koyan çalışmaların gözden geçirilmesi, her iki tekninin avantajlarına uygun olarak kullanılan gerektiğini göstermektedir (1). Bu durumda keser ve kanın dişlerine braketler direkt olarak yapıştırıldıklarken, molar ve premolar-

* S.Ü. Dişhek. Fak. Ortodonti A.D. Öğretim Gör.
** S.Ü. Dişhek. Fak. Ortodonti A.D. Araştırma Gör.

lar dışlere genel olarak band uygulanmaktadır. Bu dışlerin bandlanması, okluzal kuvvetlere ve tedavinin gereği olarak bu bölgeye uygulanan kuvvetlere daha dirençli olmaları içindir. Ancak bandların mine yüzeyine tutunabilmeleri için, mekanik tutuculuklarının yeterli olması gerekmektedir. Bu da dışın formuna uygun olarak seçilmelerinin yanı sıra, band yapıştırmada kullanılan simanların özelliklerine de bağlıdır (2).

Orthodontic bandların simantasyonunda çeşitli kimyasal yapılardaki simanlar kullanılmıştır. bunlardan çinko fosfat siman (ZP) 1878 yılından bu yana dişhekimliğinde kullanılmaktadır (3). Bu tip simanlara 1960'lı yıllarda fluorid ilave edilerek antikaryojenik özellik kazandırılmıştır (4). Ancak türkük çözünebilirliklerinin fazla olması ve diş yüzeyine yapışmayıp tutuculuğunu yalnızca mekanik düzeyde kalması dekalsifikasyonlara yol açtılarından, araştırcıları yeni tip simanlar geliştirmeye sevk etmiştir (3, 5, 6). 1968 yılında Smith, çinko polikarboksilat (ZPC) simanları tanıtmıştır (3). Bu simanın özelliği ise yapısındaki poliakrilik asit moleküllerinin mine yapısındaki kalsiyum iyonları ile kimyasal olarak birleşebilmesidir. Paslanmaz çelik yüzeylere de yapışabileceğini, bu simanı orthodontic uygulamalar için geçerli kılmıştır (6). Ancak viskozitesinin çok yüksek olması nedeniyle çalışma süresinin son derece kısa olması en önemli dezavantajıdır (3). Zaman içerisinde mekanik ve antikaryojenik özelliklerini artırmak için bu tür simanlara da fluorid ilave edilmiştir (7). Viskozitesi ise, bir miktar azaltılabilir. Ancak bütün bu çabalara rağmen çinko polikarboksilat simanların türkük ile çözünürlüğünü engellenemediinden, çinko fosfat simanlarda olduğu gibi bandların altındaki mine yüzeyinde dekalsifikasyonlara yol açmaktadır (8).

ilk kez 1972 yılında Wilson ve Kent tarafından geliştirilen cam iyonomer simanlar ise (GIC), silikat simanların, kompozit rezinlerin ve polikarboksilat simanların tüm olumlu özelliklerinin birleştirilmesini hedeflemektedirler (9, 10). Cam iyonomer simanların biyolojik uyumluluğu, uygulandıktan sonra en az 12 ay fluorür açığa çıkartmaları, dolayısıyla antikaryojenik özellikleri, diş yapısına fizikokimyasal olarak bağlanabilmeleri ve türkükle çözünürlüklerinin azlığı gibi olumlu özellikleri nedeniyle dişhekimliği pratiğinde giderek daha fazla ilgi görmekte ve band simantasyonunda en ideal siman olarak gösterilmektedirler (2, 10-13).

Yukarıda bahsettiğimiz farklı özelliklerdeki simanların orthodontic band tutuculuğuna etkisini araştırmak üzere ise birçok çalışma gerçekleştirılmıştır.

Kocadereli ve Ciğer çinko fosfat, çinko polikarboksilat ve cam iyonomer simanlar arasında band tutuculuğu açısından önemli bir fark bulamamışlardır. Ancak, çalışmalarının ileri devrelerinde cam iyonomer simanın tutuculuğunu önemli oranda devam ettiğini saptamışlardır (3, 13). Birçok araştırmacı da, cam iyonomer simanların diğer simanlara göre mineyi daha iyi koruduklarını ve mine yüzeyi

yne daha kuvvetli yapıstıklarını belirtmişlerdir (2, 3, 10, 11, 14, 15).

Yine Norris ve arkadaşları, cam iyonomer simanla yapıştırılan bandların siman-band yüzeyinde, siman,mine yüzeyine göre daha az tutuculuk olduğunu ve bunun sonucunda da, çekme testinde kopmaların hep bu yüzde meydana geldiğini belirtmişlerdir (3). Copenhaver, Maijer ve Smith de çalışmalarında benzer bulgular elde etmişlerdir (8, 11).

Fajen ve arkadaşları farklı 3 cam iyonomer siman üzerinde yaptıkları çalışmalarında, Ketac Cem simanın yapışma kuvvetinin diğerlerine göre daha fazla olduğunu belirtmişlerdir (16). Bu durumu Ketac Cem'in diğerlerinden farklı olan kimyasal yapısına bağlamışlardır. Gerçekten de bu yapısal özellik ona daha uygun karıştırma süresinde düşük viskozite sağlamamaktadır. Böylece band ve diş yüzeyi arasında minimum materyal kullanılarak, daha kuvvetli bir yapışma sağlanmaktadır.

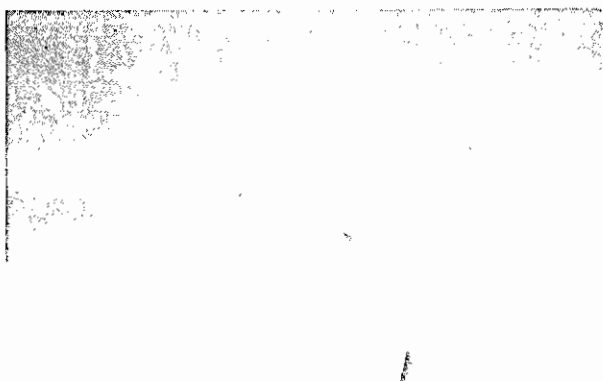
Göründüğü gibi, çok sayıda araştırma cam iyonomer simanların orthodontic uygulamalar için diğer simanlara göre daha uygun olduklarını göstermektedir. Gerçekten de son yıllarda bütün bu olumlu özelliklerinden dolayı giderek daha fazla ilgi çekmekte ve band simantasyonda en ideal siman olarak gösterilmektedir (2, 10, 11, 14). Ancak, band tutuculuğu ile ilgili çekme testlerinde, yukarıda da dejindiğimiz gibi kopmaların cam iyonomer siman ile band yüzeyi arasında gerçekleştiği açıklanmaktadır. Bu durum cam iyonomer simanların antikaryojenik özelliğinin bir sonucu olarak açıklansa da, siman ve band yüzeyi arasındaki bu tutuculuk eksikliğinin giderilmesi, önemli bir ihtiyaç olarak karşımıza çıkmaktadır. Bu da ancak bandın tutucu yüzeyinin artırılması ile mümkün olacaktır.

Amacımız doğrultusunda gerçekleştirdiğimiz literatür taramasında ise, siman ve band yüzeyi arasındaki söz konusu tutuculuğu artırmaya yönelik herhangi bir çalışmaya rastlanmamıştır. Ancak Zachrisson ve Büyükyılmaz'ın, altın, porselen ve amalgam yüzeylere braket yapıştırmak için önerdikleri farklı yüzey pürüzlendirici yöntemler bize yol göstermiş ve pürüzlendirme işlemlerinde "micro-etcher", "tungsten carbid frez" ve "yeşil taş" kullanılmıştır (17).

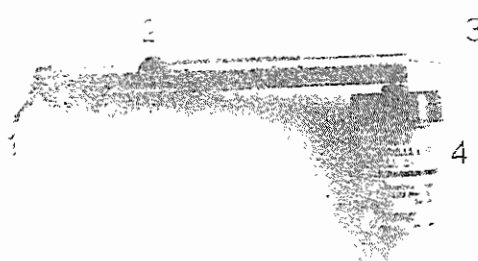
Çalışmamızın amacı ise, yukarıda sözü edilen farklı yüzey pürüzlendirici yöntemlerin siman ve band yüzeyleri arasındaki tutuculuğa olan etkilerinin incelenmesi ve subjektif olarak da bu yüzeylerdeki simanın kopma şeklinin belirlenmesidir.

MATERIAL VE METOD

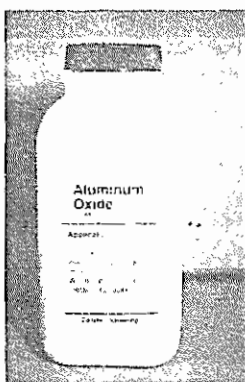
Çalışmamız Selçuk Üniversitesi Dişhekimliği Fakültesi Ortodonti Anabilim Dalı ve KOSGEB Konya Danışmanlık ve Kalite Geliştirme Merkezi laboratuvarında gerçekleştirılmıştır.



Resim 1: 15 adet diş servika seviyelerine kadar akrilik bloklara gömülüp, her diş uygın bandlar seçilmiştir.



Resim 2: Micro-etcher cihazı. (1. Hareketli püskürme ucu, 2. Çalıştırma Düğmesi, 3. Basınçlı hava barusu, 4. Alüminium oxide tozu koyulen hazne.)



Resim 3: 90 mikron.luk Alüminium Oxide tozu.

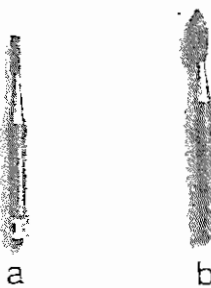
* Dentaurum 860-, Germany.

^ Danver Engineering, 115-A Railroad Ave., CA 94526 USA

Comet 012-204, Switzerland

\$ Comet 130-204, Switzerland

+ ESPE D-8222 Seefeld, Germany



Resim 4: a) Tungsten Carbide Frez.
b) Yeşil Taş.

Tedavileri çekimli olarak gerçekleştirilecek hastalarca 15 adet üs: 1. küçük ağız diş, çekimlerini takiben air flow ile temizlenmişler ve kurumamaları için serum fizyolojik içerisinde biriktirilmişlerdir.

Araştırma gruplarını oluşturmadan önce tüm dişler seviyal seviyelerine kadar akrilik bloklara gömülüp, her diş uygın 4'er adet hazır band seçilmiştir (*). Çalışmanın farklı aşamaları için seçilen bu bandların diş üzerindeki sınırları ise sabit kalemlle belirlenmiştir. Bandların bukkal ve lingual yüzeylerine ise, düğmecikler (button) puntalanmıştır (Resim 1).

Daha sonra çalışma grupları şu şekilde oluşturulmuştur.

I. Grup: Bu grupta bandların iç yüzeylerine hiçbir pürüzlendirici işlem uygulanmamıştır. Bu grup çalışmamızın kontrol grubunu oluşturmuştur.

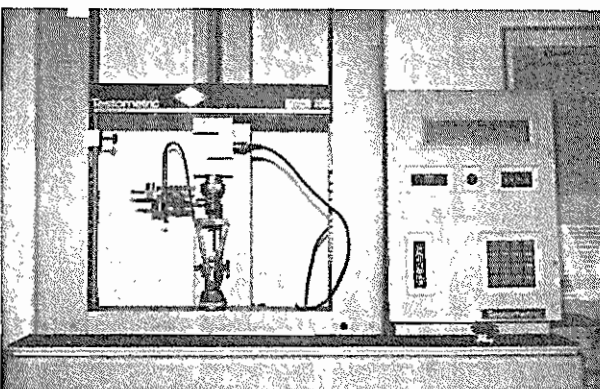
II. Grup: Bu grupdaki bandların iç yüzeylerine Micro-etcher cihazı yardımı ile 90 mikron.luk Alüminium Oksit (Al_2O_3) tozu uygulanmıştır. Micro-etcher, mikro kumlama amacıyla kullanılan bir cihazdır (Resim 2), (^). Kumlama işlemini 7 kg/cm^2 basıncında Alüminium Oksit tozu püskürterek gerçekleştirmektedir (Resim 3) (#).

III. Grup: Bu grupdaki bandların iç yüzeylerine düşük devirli motor yardımı ile "tungsten carbide frez" uygulanmıştır (Resim 4-a), (#).

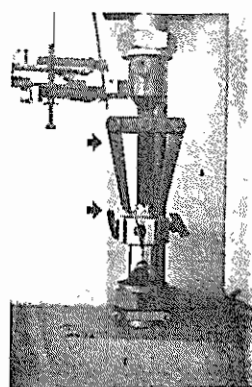
IV. Grup: Bu grupdaki bandların iç yüzeylerine yine düşük devirli motor yardımı ile "yeşil taş" uygulanmıştır (Resim 4-b), (\$).

Pürüzlendirme işlemleri gerçekleştirilirken, micro-etcher band yüzeyinden 2-3 mm. uzakta tutularak, tungsten carbide frez ve yeşil taş ise, mikromotor yardımıyla band yüzeylerinde pürüzlendirme yapacak şekilde, bir tur çevrilerek uygulanmışlardır.

Tüm gruptardaki bandlar diş yüzeyince Ketac Cem siman kullanılarak simante edilmişlerdir (+). Ketac Cem



Resim 5: Testometric Miigro 500 Universal Test Cihazı.



Resim 6: Akrilik bloklara gömülü dişler cihazın alt kısmına vidalanmıştır. Çift menteşeli üst parça ise, çekme kuvvetini bandları her iki yüzüne eşit olarak dağıtan şekilde, cihazın üst kısmına morite edilmiştir.

Üretici firmadan tavsiye ettiği şekilde hazırlanmış ve çalışma gruplarını oluşturan tüm bandlar, dişlere el basıncı ve band yerleştirici yardımı ile uygulanmıştır. Siman sertleştirikten sonra banddan taşan kısımları kretuvar yardımı ile temizlenmiş ve ömekler 37°C su içerisinde 24 saat bekletilmiştir. Daha sonra KOSGEB Konya Danışmanlık ve Kalite Geliştirme Merkezi laboratuvarında, Testometrik Miigro 500 Üneral test cihazında çekme işlemine tabi tutulmuştur (Resim 5). Akrilik bloklara gömülü her dişin cihazın alt kısmındaki özel hazneye vidalanmıştır. Özel olarak tasarladığımız üst parça ise, bandların homojen olarak çekilebilmesi için cihazın üst kısmına monte edilmiştir (Resim 6). Bu çift menteşeli sistem sayesinde çekme kuvveti bandların her iki yüzüne eşit olarak dağılmıştır. Böylece bandların sökülmesi sırasında uygulanan kuvvet dişin uzun aksına paralel olarak şekilde uygulanmıştır. Çekme işlemleri sırasında cihazın çekme hızı 0.2 mm/dk. olarak kalibre edilmiştir.

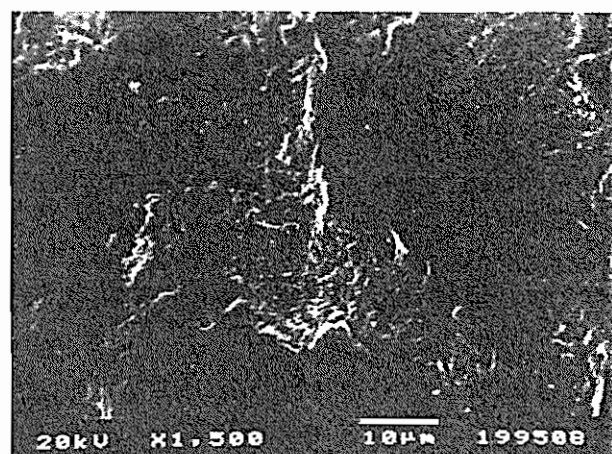
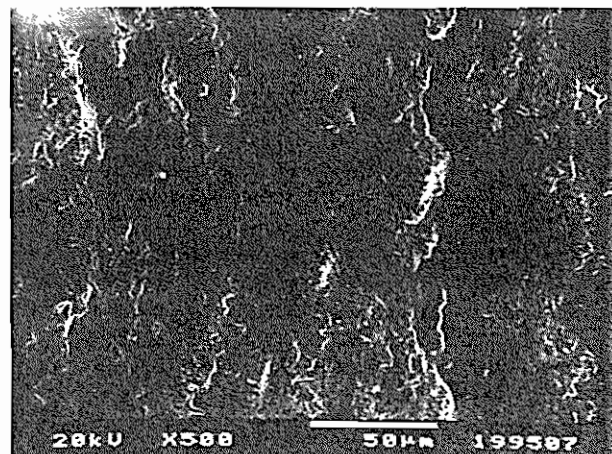
Bir gruptaki çekme işlemi tamamlandıktan sonra veriler kaydedilmiş ve o grubu oluşturan tüm dişler simanlarından temizlenmiştir. Daha sonra aynı dişler, aynı numaralı yeni bandlar kullanılarak yeniden bandlanmıştır.

dir. Bandlama işleminde band kenarlarının hep aynı şekilde yerleşmeleri için dişler üzerine evvelce çizilen band sınırları rehber olarak alınmıştır. Bu işlemler her grup için ayrı ayrı gerçekleştirilmiş ve çalışmanın ileri sahalarına geçilmiştir.

Veriler Macintosh ortamında Exstatics istatistik paket programı kullanılarak değerlendirilmiştir. Gruplar arasındaki farklılıklar tek yönlü varyans analizi (ANOVA) kullanılarak belirlenmiş, farklılığın hangi grup veya gruplardan kaynaklandığının belirlenmesi amacıyla da Duncan Testi (Duncan's Multiple Range Test) yapılmıştır.

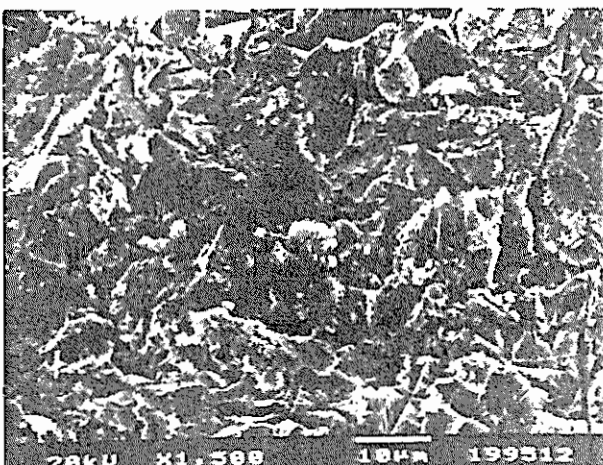
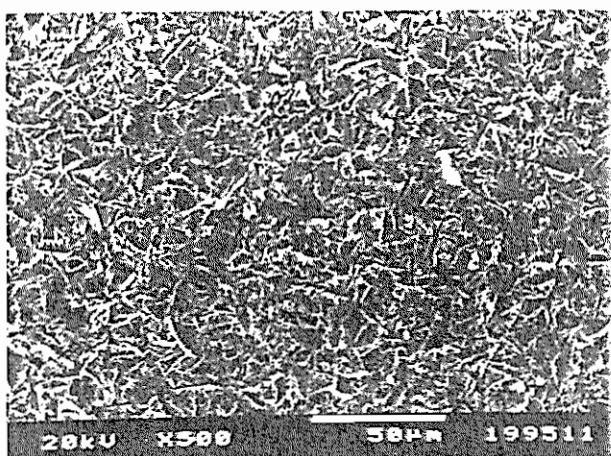
Bunlardan ayrı olarak, dört farklı çalışma grubunu oluşturan bandların tutucu yüzeyleri Jeol JSM 5200 elektron mikroskopu altında incelenmiş ve farklı büyütme oranlarında mikrografları alınmıştır (Resim 7, 8, 9, 10).

Band ve mine yüzeyindeki simanın kopma şekli ise çiplak gözle subyektif olarak belirlenmiştir.

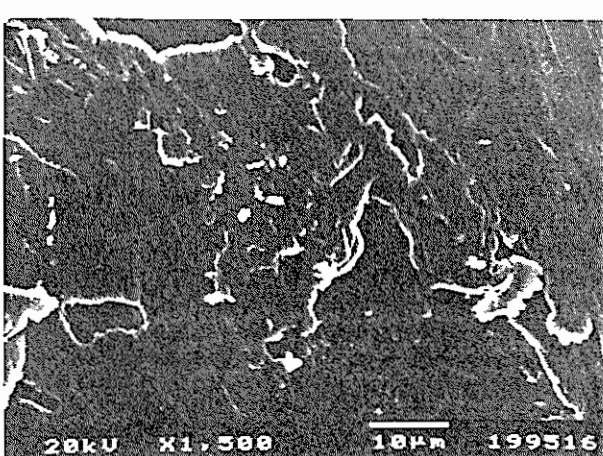
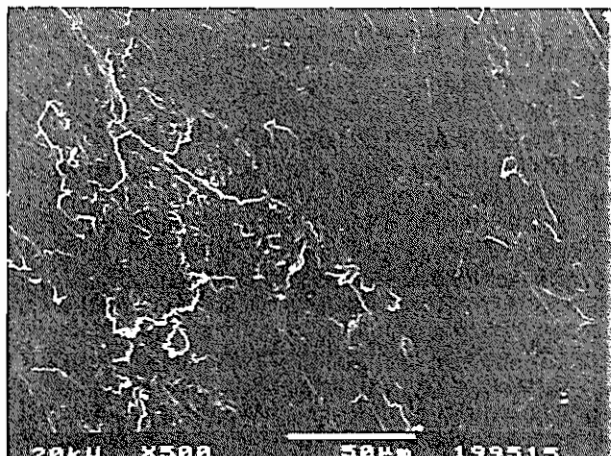


Resim 7: Kontrol grubunu oluşturan ve hiç bir pürüzlendirme işlemi uygulanmamış bandların iç yüzeylerinin a) 500x, b) 1500x büyütmedeki elektron mikroskop fotoğrafları (I. Grup).

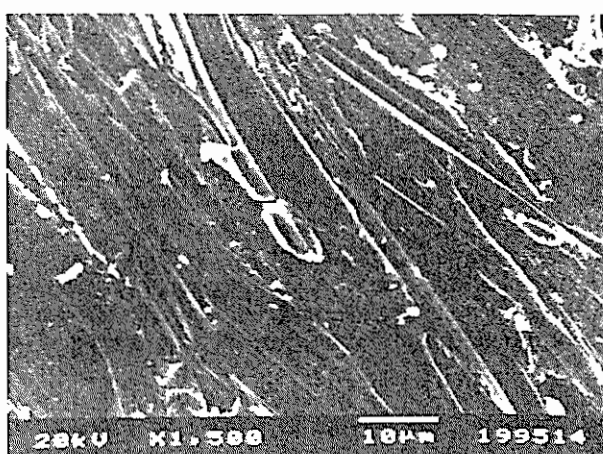
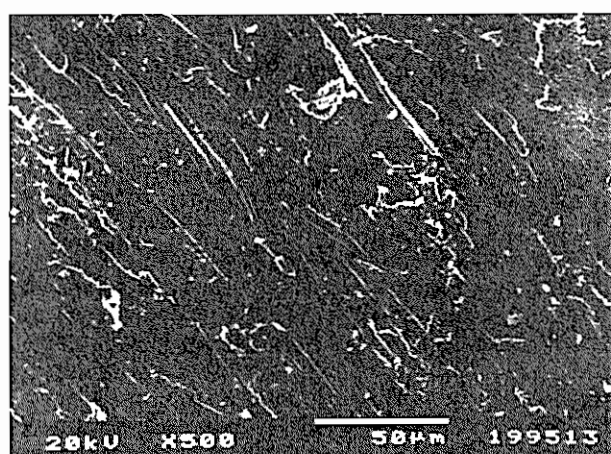
Band tutuculuğunu artırıcı yöntemler



Resim 8: Micro-etcher yardımı ile Alüminium Oksid tozu püskürtülerek pürüzlendirilmiş bandların iç yüzeylerinin a) 500X, b)1500 X büyütmedeki elektron mikroskop fotoğrafları (II. Grup).



Resim 9: Düşük devirli motor yardımı ile "tungsten carbid frez" uygulanarak pürüzlendirilmiş bandların iç yüzeylerinin a) 500X, b)1500X büyütmedeki elektron mikroskop fotoğrafları (III. Grup).



Resim 10: Düşük devirli motor yardımı ile "yeşil taş" uygulanarak pürüzlendirilmiş bandların iç yüzeylerinin a) 500X, b) 1500X büyütmedeki elektron mikroskop fotoğrafları (IV. Grup).

Tablo 1: Gruplar arasındaki farklılığın Varyans Analizi ve Duncan Testi ile incelenmesi.

Parametre	1.Grup (A)		2.Grup (B)		3.Grup (C)		4.Grup (D)		F	Duncan Testi					
	\bar{x}	$\pm Ss$	\bar{x}	$\pm Ss$	\bar{x}	$\pm Ss$	\bar{x}	$\pm Ss$		A-B	A-C	A-D	B-C	B-D	C-D
Kopma Direnei	11.65	3.1	16.72	2.7	14.99	2.7	14.94	2.0	***	***	***	***	-	-	-

p>0.05 -, p<0.05 *, p<0.01 **, p<0.001 ***.

BÜLGULAR

Çalışma grupları arasındaki farklılıklarını belirlemeye yukarıda bahsedildiği gibi, tek yönlü varyans analizi yapılmış, sonuçta gruplar arasında $p<0.001$ düzeyinde anlamlı bir farklılık belirlenmiştir. Bu farklılığın hangi gruptan veya gruplardan kaynaklandığını belirlemek amacıyla gerçekleştirilen Duncan Gruplaması sonucunda ise, II., III. ve IV. grupların (pürüzlendirme işlemi yapılan gruplar) I. gruba göre $p<0.001$ düzeyinde farklılık gösterdikleri saptanmıştır (Tablo 1). Bu sonuçlara göre pürüzlendirme işlemi yapılan band grupları arasında istatistiksel olarak anlamlı bir farklılık gözlenmezken, tüm pürüzlendirme yöntemlerinin band tutuculuğunu önemli oranda artırdıkları belirlenmiştir.

Elektron mikroskop fotoğraflarının incelenmesi sonucunda, micro-etcher yardımı ile pürüzlendirilen bandların tutucu yüzeylerinde homojen dağılımlı ve muntazam birçok mikroskopik tutucunun (undercut) oluştuğu gözlenirken (II. Grup, Resim 8), diğer pürüzlendirme işlemlerinin bandların tutucu yüzeylerinde geniş ve düzensiz kenar ve oluklar oluşturdukları ve yüzey harabiyetine yol açtıkları saptanmıştır (III ve IV Gruplar, Resim 9, 10).

Band ve mine yüzeyindeki simanın kopma şeklinin gözlenmesi sonucunda ise, I. Grupta çekme işlemi sonrasında simanın dış yüzeyine yapışık olarak kaldığı, diğer üç grupta ise, ömeklerin tümünde simanın band yüzeylerine yapışmış olarak kaldığı belirlenmiştir.

TARTIŞMA

Sabit ortodontik tedavi yöntemlerinde paslanmaz çelik bandlar yaygın olarak kullanılmaktadır. Ancak hazır bandlar, yapımlarındaki teknolojik gelişmelere rağmen tedavi süresince mine yüzeyinden sıkılıkla kopmaktadır. Bu kopmaların nedenleri olarak hekime ve hastaya bağlı birçok etkenlerden söz edilmektedir (11, 18). İyi seçilmiş bandlar, atipik şekilli dişler, diş minesinin yaşı, hastanın cinsiyeti, maloklüzyonun tipi, uygulanan tedavi teknigi ve ağız dışı kuvvet kullanımı bunlardan bazılardır.

Orthodontik bandların kopmaları ile ilgili olarak da birçok laboratuvar ve klinik çalışma yayınlanmıştır. Ancak bunlar daha çok band simantasyonunda kullanılan maddelein birbirlerine olan farklılıklarının belirlenmesine yönelikdir. Rich, Leinfelder ve Hershey çinko fosfat simanlarını

polikarboksilat simanlara oranla daha iyi tutuculuk sağladıklarını belirtirlerken, Clark, Philips ve Normal silikofosfat simanlarının, çinko fosfat ve polikarboksilat simanlara göre tutuculuk açısından daha üstün olduklarını göstermişlerdir (19, 20). Kocadereli ve Ciğer ise, laboratuvar çalışmalarında, çinko fosfat, çinko polikarboksilat ve cam iyonomer simanlar arasında tutuculuk açısından önemli bir farklılık bulmamışlardır (14). Ancak Noris ve arkadaşları, cam iyonomer simanların diğer tüm simanlara göre daha üstün olduklarını açıklamışlardır (13). Band tutuculuğunu klinik olarak değerlendiren çalışmalarda ise, Mizrahi çinko fosfat siman kullanıldığında band kopmalarının diğer fosfat simanlara kıyasla daha az olduğunu belirtirken, başka bir çalışmasında cam iyonomer siman ile yapıştırılan bandların, polikarboksilat siman kullanınlara göre önemli oranda daha az kopuklarını göstermiştir (6, 18). Kvam ve arkadaşları ve Strupps da aynı doğrultuda görüş bildirmektedirler (2, 15). Ficker ve McLachlan ise, klinik çalışmalarında cam iyonomer simanların, çinko fosfat simanlara göre daha iyi tutuculuk sağladıklarını söylemektedirler (21).

Simanların fiziksel özellikleri ile ilgili çalışmalar, çinko fosfat simanın basınç karşısındaki direncinin 80-110 MPa, polikarboksilat simanın 55-85 MPa, cam iyonomer simanın ise 140 MPa olduğunu göstermektedir (11). Kvam Broch ve Nissen-Meyer 1 yıllık klinik çalışmalarında cam iyonomer simanın ağız içindeki çözünürlüğünün çinko fosfat simanlara göre daha az olduğunu ve dekalsifikasyon riskinin ise, çok daha az olduğunu belirtmektedirler (15). Maijer ve Smith de çalışmalarında aynı doğrultuda görüş bildirmiştirler (11). Üstelik cam iyonomer simanlar uzunca bir süre fluorid açığa çıkartmaları nedeniyle de diğer tüm simanlara göre ortodontik kullanımında daha uygun olarak değerlendirilmektedirler (2, 10-14). Ancak çekme deneylerinde, bu tip simanlardaki kopmaların siman ve band yüzeyi arasında gerçekleştiği de bilinmektedir (3, 8, 11).

Çalışmamızda ise, cam iyonomer simanlardaki bu eksikliğin giderilmesine yönelik yöntemler belirlenmeye çalışılmıştır. Araştırmamızı gerçekleştirmek üzere oluşturduğumuz gruplar, farklı pürüzlendirme yöntemlerinin uygulandığı bandlardan meydana getirilmiştir. Her grup için kullanılacak olan bandlar çekme işlemlerinin gerçekleştirileceği 15 diş için önceden seçilmiştir. Kullandığımız bu hazır bandlar, her farklı grup çalışmada yenilenirken aynı numaralı olanları kullanılmıştır. (Örneğin, 7

numaralı diş için, çalışmanın 4 aşamasında da 19 numaralı hazır band uygulanmıştır). Ayrıca bandlar diş üzerinde evvelce çizilen rehber sınır çizgisine göre simantec edilmişlerdir. Bu sayede band seçiminden kaynaklanabilecek farklılıklar elimine edilmiştir. Simantasyon materyali olarak, üstünlükleri ve kullanım avantajları yukarıda belirtilen cam ionomer simanlardan Ketac Cem kullanılmış ve tüm çalışma gruplarındaki bandlar bu simanla simantec edilmişlerdir. Çalışmamızda Ketac Cem marka simanı tercih etmemizin nedeni, laboratuvar çalışmalarında piyasadaki diğer cam ionomer simanlara oranla tutuculuğunun daha fazla ve ortodontik kullanımda daha uygun olmasıdır (16). Nitekim cam ionomer simanla gerçekleştirilen birçok çalışmada Ketac Cem siman kullanılmıştır (3, 10-13).

Çalışmamızda ortodontik bandların tutucu yüzeylerinin pürüzlenirilmeleri "micro-etcher", "tungsten carbide frez" ve "yeşil taş" uygulanarak yapılmıştır. Uygulanan tek yönlü varyans analizi sonucunda, söz konusu pürüzlenir yöntemlerinin tümünün band tutuculuğunu $p < 0.001$ düzeyinde önemli oranda artırdıkları belirlenmiştir. Farklı pürüzlenirme işlemleri uygulanan band grupları arasında ise, istatistiksel olarak anlamlı bir farklılık gözlenmemiştir (Tablo 1). Bu durumda söz konusu pürüzlenir yöntemlerinin herhangi birisinin uygulanması band tutuculuğunu önemli oranda artırdığını söyleyebiliriz. Buna rağmen yine de micro-etcher uygulamasının, istatistiksel olarak önemli olmasa da, ortalama kopma direncinin diğer yöntemlerle karşılaştırıldığında, 2 kg dan fazla olduğunu söyleyebiliriz. Başka bir deyişle micro-etcher uygulaması, diğer yöntemlere göre %11'lik bir üstünlük sağlamaktadır. Bu durum Alüminium Oksid tozlarının püskürtülmesi ile band yüzeyinde daha homojen bir pürüzlenirme sağlaması ile açıklanabilir (Resim 8). Diğer pürüzlenirme yöntemleri ise ekonomik oluslarından dolayı daha avantajlı gibi görünmektedirler. Ancak, elektron fotoğraflarında bu yöntemlerle yapılan pürüzlenirme işlemleri sonucunda band yüzeylerinde harabiyet oluştuğu da göz önünde bulundurmalıdır (Resim 9, 10). Micro-etcher uygulamasının ise, daha pahalı olmasına rağmen, hem homojen dağılımlı, hem de muntazam birçok mikroskopik tutucu oluşturabilmesi önemli bir avantajı olarak vurgulanmalıdır. Gerçekten de, bu özelliklerinden dolayı son yıllarda ortodontik uygulamalar içerisinde çeşitli şekillerde kullanım alanı bulmaktadır. Ağız içerisinde braket yapıştırılacak amalgam, porselen ve altın yüzeylerin pürüzlenirilmesi, ağız dışında ise kopan braketlerdeki kompozit rezinlerin temizlenmesi bunlardan bazlarıdır (17).

Band tutuculuğunu yüzey pürüzlenirme yöntemleri ile artırılması ile ilgili bulgularımızı daha önce bu alanda herhangi bir çalışma yapılmadığından, farklı araştırmaların bulguları ile tartışma olanağı bulunamamıştır. Ancak, American Orthodontics firmasının bu amaçla piyasaya sunduğu yeni bir tip molar bandının varlığı saptanmıştır. Söz konusu bandların iç yüzeylerindeki pürüzlenirilmiş

bölgelerin tutuculuğu artırdığı iddia edilmekte, ancak bu iddia bilimsel bir çalışma ile ortaya konamamaktadır (22).

Çalışmamızda, pürüzlenirme işlemi yapılmayan bandların kopartılmaları sonucunda, çeşitli araştırmacıların da belirtikleri gibi, cam ionomer simanın mine yüzeyinde kaldığı gözlenmiştir (1. Grup) (3, 8, 11). Bu subjektif bulgumuz zaten bu çalışmanın gerçekleştirilme nedenini oluşturmaktadır. Buna karşın pürüzlenirme işlemi yapılan diğer 3 grupta ise, kopmanın siman ve mine yüzeyinde olduğu saptanmıştır. Kanıtmazca bu durum, öngördüğümüz gibi, Ketac Cem simanın mekanik tutuculuğunun pürüzlenirme işlemleri sayesinde artırılması ile açıklanabilir. Başka bir deyişle pürüzlenirme ile siman, mineye göre daha pürüzlü olan band yüzeyine daha kuvvetli yapışmaktadır.

Sonuç olarak ileri süրdüğümüz tüm pürüzlenirme işlemlerinin kolay uygulanabilir olduklarını ve doğru seçilmiş bandlara simantasyon öncesinde uygulanmalarının band tutuculuğunu önemli oranda artırdıklarından, tercih edilemeleri gerektiğini söyleyebiliriz.

Bu laboratuvar çalışmasının, bundan sonraki klinik araştırmalarımıza bir çıkış kaynağı olacağına inanıyoruz.

YARARLANILAN KAYNAKLAR

- 1- Mizrahi E: Orthodontic Bands and Directly Bonded Brackets; a Review of Clinical Failure Rate. *J. Dent.* 1, 231-236, 1983.
- 2- Stirrups DR: A comparative Clinical Trial of a Glass Ionomer and a Zinc Phosphate Cement for Securing Orthodontic Bands. *British J. Orthod.* 18 (1); 15-20, 1991.
- 3- Norris DS, McInnes-Ledoux P, Schwaninger B, Weinberg R: Retention of Orthodontic Bands with New Fluoride-Releasing Cements. *Am. J. Orthod.* 89; 206-211, 1986.
- 4- Wei SHY, Sierk DL: Flupride Uptake by Enamel from Zinc Phosphate Cement Containing Stannous Fluoride. *J. Am. Dent. Assoc.* 83; 621-624, 1971.
- 5- Schroeder DH, Sather AH, Jowsey J, Taylor WF: Permeability Beneath Orthodontic Bands: Variations Dependent on Cement Type and Cement-Removal Method. *Am. J. Orthod.* 65 (5); 453-461, 1974.
- 6- Mizrahi E: The Recementation of Orthodontic Bands Using Different Cements. *Angle Orthod.* 49 (4); 239-246, 1979.
- 7- Tsukiboshi M, Tani Y: Physical Properties of a Polycarboxilate Cement Containing a Tannin-Fluoride Preparation. *J. Prosthet. Dent.* 51; 503-508, 1984.
- 8- Copenhave DJ: In Vitro Comparison of Glass Ionomer Cements' Ability to Inhibit Decalcification Under Orthodontic Bands [Abstract]. *Am. J. Orthod.* 89; 528, 1986.

Güray, Karaman

- 9- Wilson AD, Kent BE: A New Translucent Cement for Dentistry, The Glass Ionomer Cement. British Dent. J. 132; 133-135, 1972.
- 10- Mizrahi E: Glass Ionomer Cements in Orthodontics-An Update. Am. J. Orthod. Dentofac. Orthop. 93; 505-507, 1988.
- 11- Maijer R, Smith C: A Comparison Between Zinc Phosphate and Glass Ionomer Cement in Orthodontics. Am. J. Orthod. Dentofac. Orthop. 93; 273-279, 1988.
- 12- Kockowski R, Davis EL, Joynt RB, Wieczkowski G, MacDonald A: Bond Strength and Durability of Glass Ionomer Cements Used as Bonding Agents in the Placement of Orthodontic Brackets. Am. J. Orthod. Dentofac. Orthop. 96;60-4, 1989.
- 13- Rezk-F, Ogart B: Tensile Bond Force of Glass Ionomer Cements in Direct Bonding of Orthodontic Brackets: An In Vitro Comparative Study. Am. J. Orthod. Dentofac. Orthop. 100; 357-61, 1991.
- 14- Kocadereli I, Ciğer S: Retention of Orthodontic Bands with Three Different Cements. Journal of Clinical Pediatric Dentistry. 19 (2); 127-130, 1995.
- 15- Kvam E, Broch J, Nissen-Meyer I: Comparison Between a Zinc Phosphate and a Glass Ionomer Cement for Cementation of Orthodontic Bands. European J. orthod. 5; 307-13, 1988.
- 16- Fajen V.B. Duncanson MG, Nanda RS, Currier F, Angolkar PV: An In Vitro Evaluation of Bond Strength of Three Glass Ionomer Cements. Am. J. Orthod. Dentofac. Orthop. 97; 316-22, 1990.
- 17- Zachrisson B, Büyükyılmaz T: Recent Advances in Bonding to Gold, Amalgam, and Porcelain. J. Clin. Orthod. 27 (2); 661-675, 1993.
- 18- Mizrahi E: Further Studies in Retention of the Orthodontic Band. Angle Orthod. 47 (3); 231-238, 1977.
- 19- Rich JM, Leinfelder KF, Hersher HG: An In Vitro Study of Cement Retention as Related to Orthodontics. Angle Orthod. 45;219-222, 1975.
- 20- Clark RJ, Philips RW, Norman RD: An Evaluation os Silico-Phosphate as an Orthodontic Cement. Am. J. Orthod. 71; 190-4, 1977.
- 21- Fricker JP, McLachlan MD: Clinical Studies of Glass Ionomer Cements. In ed. Maijer R, Smith C: A Comparison Between Zinc Phosphate and Glass Ionomer Cement in Orthodontics. Am. J. Orthod. Dentofac. Orthop. 93; 273-279, 1988.
- 22- American Orthodontics, Maximum Retention Bands, 1714 Cambridge Ave. P.O.Box 1048, Sheboygan, WI 53082-1048, USA.

YAZIŞMA ADRESİ:

Dr. Enis GÜRAY
Selçuk Üniversitesi
Dişhekimliği Fakültesi
Ortodonti Anabilim Dalı
42079 Kampüs-Konya